Метод отдельных тел (метод А. Ф. Верещагина)

 \mathbf{P}_{n-1} Юдинцев В. В. Кафедра теоретической механики

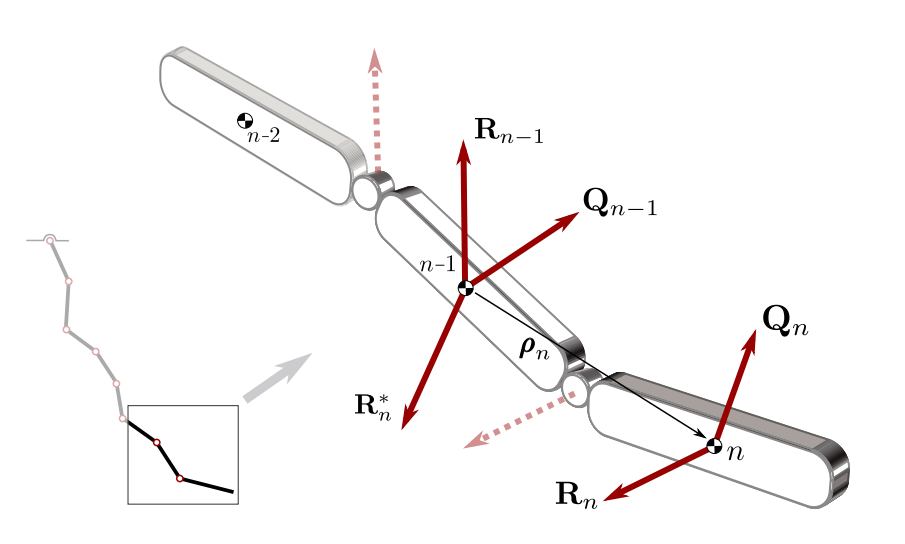
Самарский государственный аэрокосмический университет рим. академика С. П. Королёва (национальный исследовательский университет)

R_n* 29 марта 2014 г.

Метод отдельных тел

- Метод разработан Верещагиным А. Ф. в 1974 году: Верещагин А. Ф. Компьютерное моделирование динамики сложных механизмов роботов-манипуляторов Инженерная кибернетика, вып. 6, 1974, с. 65-70.
- Используются шарнирные координаты.
- Не формируется матрица масс всей системы: все матричные операции выполняются с матрицами и векторами размерности < 6.
- Вычислительная трудоёмкость пропорциональна количеству тел системы: O(n).

Уравнения движения



Уравнения движения тела n

$$\boxed{\mathbf{M}_n \mathbf{a}_n = \mathbf{Q}_n + \mathbf{R}_n} \tag{1}$$

где \mathbf{M}_n – матрица инерции тела:

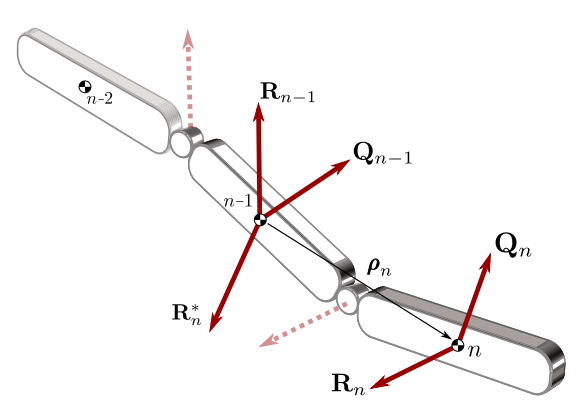
$$\mathbf{M}_n = \begin{bmatrix} m_n \mathbf{E}_{3 \times 3} & \mathbf{0}_{3 \times 3} \\ \mathbf{0}_{3 \times 3} & \mathbf{J}_c \end{bmatrix}; \tag{2}$$

 ${f a}_n$ — столбец линейных и угловых ускорений тела $n,\ {f Q}_n$ — столбец активных сил и моментов, действующих на тело $n,\ {f R}_n$ — столбец сил и моментов реакции, действующих на тело n:

$$\mathbf{a}_n = egin{bmatrix} oldsymbol{a}_n \ oldsymbol{arepsilon}_n \end{bmatrix} = egin{bmatrix} \ddot{\mathbf{r}}_n \ oldsymbol{arepsilon}_n \end{bmatrix}, \quad \mathbf{Q}_n = egin{bmatrix} \mathbf{F}_n \ \mathbf{M}_n - oldsymbol{\omega}_n imes \mathbf{J}_n \cdot oldsymbol{\omega}_n \end{bmatrix}, \quad \mathbf{R}_n = egin{bmatrix} \mathbf{F}_n^c \ \mathbf{M}_n^c \end{bmatrix}.$$

Уравнения движения тела n-1

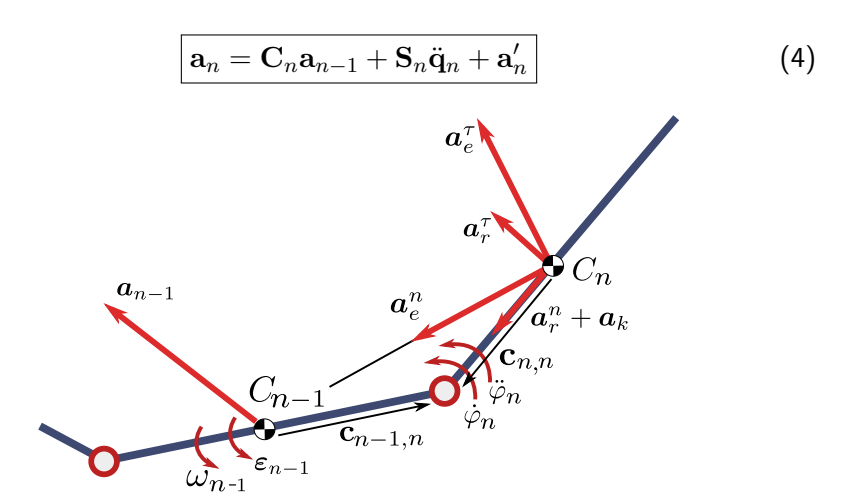
$$\mathbf{M}_{n-1}\mathbf{a}_{n-1} = \mathbf{Q}_{n-1} + \mathbf{R}_{n-1} + \mathbf{R}_n^*$$
 (3)



 \mathbf{R}_n^* – столбец сил и моментов реакции, приведённых к центру масс тела n-1:

$$\mathbf{R}_n^* = \begin{bmatrix} \mathbf{F}_n^c \\ \mathbf{M}_n^c + \boldsymbol{\rho}_n \times \mathbf{F}_n^c \end{bmatrix}.$$

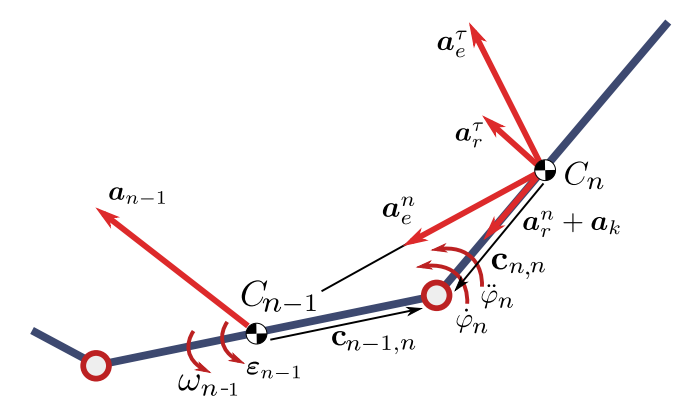
Ускорение



Матрица \mathbf{C}_n

$$\mathbf{a}_{n} = \mathbf{C}_{n} \mathbf{a}_{n-1} + \mathbf{S}_{n} \ddot{\mathbf{q}}_{n} + \mathbf{a}'_{n}$$

$$\mathbf{C}_{n} = \begin{bmatrix} \mathbf{E} & -\boldsymbol{\rho}_{n} \times \\ \mathbf{0} & \mathbf{E} \end{bmatrix} \rightarrow \begin{bmatrix} \mathbf{E} & -\boldsymbol{\rho}_{n} \times \\ \mathbf{0} & \mathbf{E} \end{bmatrix} \begin{bmatrix} \ddot{\mathbf{r}}_{n-1} \\ \boldsymbol{\varepsilon}_{n-1} \end{bmatrix} = \begin{bmatrix} \ddot{\mathbf{r}}_{n-1} + \boldsymbol{\varepsilon}_{n-1} \times \boldsymbol{\rho}_{n} \\ \boldsymbol{\varepsilon}_{n-1} \end{bmatrix}$$
(5)



Шарнирное ускорение

Подставив в уравнение движения \mathbf{a}_n и умножив результата на \mathbf{S}_n^T

$$\mathbf{S}_n^T \cdot \left[\mathbf{M}_n \mathbf{a}_n = \mathbf{Q}_n + \mathbf{R}_n \right] \leftarrow \mathbf{a}_n = \dots \mathbf{q}_n,$$
 (6)

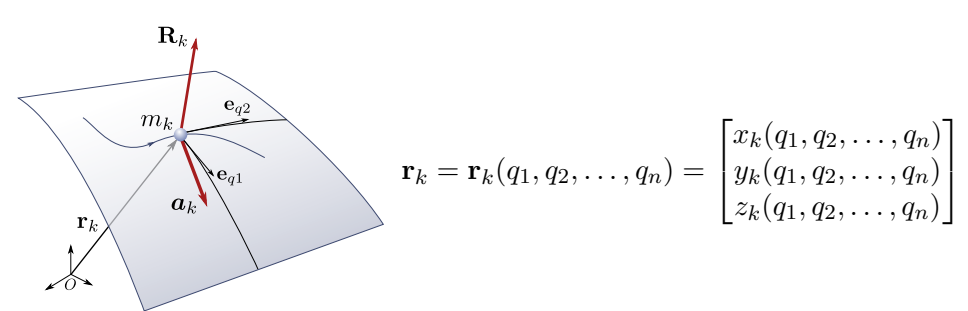
получим:

$$\mathbf{S}_n^T \mathbf{M}_n (\mathbf{C}_n \mathbf{a}_{n-1} + \mathbf{S}_n \ddot{\mathbf{q}}_n + \mathbf{a}_n') = \mathbf{S}_n^T \mathbf{Q}_n + \mathbf{S}_n^T \mathbf{R}_n.$$
 (7)

или

$$\ddot{\mathbf{q}}_n = (\mathbf{S}_n^T \mathbf{M}_n \mathbf{S}_n)^{-1} \mathbf{S}_n^T (\mathbf{Q}_n + \mathbf{R}_n - \mathbf{M}_n (\mathbf{C}_n \mathbf{a}_{n-1} + \mathbf{a}_n'))$$
(8)

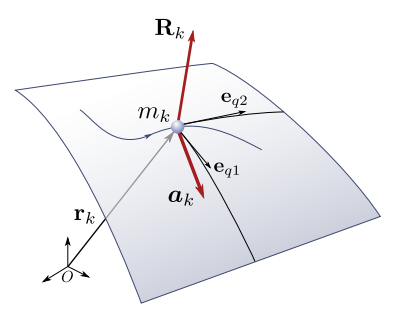
Механическая система с идеальными связями



$$\dot{\mathbf{r}}_{k} = \begin{bmatrix} \partial x_{k}/\partial q_{1} & \partial x_{k}/\partial q_{2} & \dots & \partial x_{k}/\partial q_{n} \\ \partial y_{k}/\partial q_{1} & \partial y_{k}/\partial q_{2} & \dots & \partial y_{k}/\partial q_{n} \\ \partial z_{k}/\partial q_{1} & \partial z_{k}/\partial q_{2} & \dots & \partial z_{k}/\partial q_{n} \end{bmatrix} \begin{bmatrix} \dot{q}_{1} \\ \vdots \\ \dot{q}_{n} \end{bmatrix} + \frac{\partial \mathbf{r}_{k}}{\partial t} = \mathbf{S}_{n}\dot{\mathbf{q}} + \frac{\partial \mathbf{r}_{k}}{\partial t}$$

$$\ddot{\mathbf{r}}_k = \mathbf{S}_n \ddot{\mathbf{q}} + \dots$$

Матрица \mathbf{S}_n и идеальные связи



Для идеальных связей

$$\mathbf{S}_{k} = \begin{bmatrix} \partial x_{k}/\partial q_{1} & \partial x_{k}/\partial q_{2} & \dots & \partial x_{k}/\partial q_{n} \\ \partial y_{k}/\partial q_{1} & \partial y_{k}/\partial q_{2} & \dots & \partial y_{k}/\partial q_{n} \\ \partial z_{k}/\partial q_{1} & \partial z_{k}/\partial q_{2} & \dots & \partial z_{k}/\partial q_{n} \end{bmatrix}$$

Каждый столбец матрицы \mathbf{S}_k – базисный вектор криволинейного базиса, касательного пространства:

$$\mathbf{S}_k = \begin{bmatrix} \mathbf{e}_{q1} & \mathbf{e}_{q2} & \dots & \mathbf{e}_{qn} \end{bmatrix}$$

$$\mathbf{R}_k \cdot \mathbf{e}_{q1} = 0, \ \mathbf{R}_k \cdot \mathbf{e}_{q2} = 0, \ \dots, \mathbf{R}_k \cdot \mathbf{e}_{qn} = 0$$

или

$$\mathbf{S}_k^T \mathbf{R}_k = 0.$$

Обобщённые ускорения

С учётом

$$\mathbf{S}_n^T \mathbf{R}_n = \mathbf{0} \tag{9}$$

Выражение для вторых производных обобщённых координат

$$\ddot{\mathbf{q}}_n = (\mathbf{S}_n^T \mathbf{M}_n \mathbf{S}_n)^{-1} \mathbf{S}_n^T (\mathbf{Q}_n + \mathbf{R}_n - \mathbf{M}_n (\mathbf{C}_n \mathbf{a}_{n-1} + \mathbf{a}_n'))$$
(10)

принимает вид:

$$\ddot{\mathbf{q}}_n = \mathbf{U}_n^{-1} \mathbf{S}_n^T \left[\mathbf{Q}_n - \mathbf{M}_n (\mathbf{C}_n \mathbf{a}_{n-1} + \mathbf{a}_n') \right]$$
 (11)

где

$$\mathbf{U}_n = \mathbf{S}_n^T \mathbf{M}_n \mathbf{S}_n. \tag{12}$$

Обратный ход алгоритма метода отдельных тел

$$\ddot{\mathbf{q}}_n = \mathbf{U}_n^{-1} \mathbf{S}_n^T \left[\mathbf{Q}_n - \mathbf{M}_n (\mathbf{C}_n \mathbf{a}_{n-1} + \mathbf{a}_n') \right], \tag{13}$$

$$\mathbf{a}_n = \mathbf{C}_n \mathbf{a}_{n-1} + \mathbf{S}_n \ddot{\mathbf{q}}_n + \mathbf{a}'_n, \tag{14}$$

$$\mathbf{M}_n \mathbf{a}_n = \mathbf{Q}_n + \mathbf{R}_n, \tag{15}$$

$$\mathbf{M}_{n-1}\mathbf{a}_{n-1} = \mathbf{Q}_{n-1} + \mathbf{R}_{n-1} + \mathbf{R}_n^*.$$
 (16)

$$\ddot{\mathbf{q}}_n \to \mathbf{a}_n(\ddot{\mathbf{q}}_n) \to \boxed{\mathbf{m}_n \mathbf{a}_n = \dots} \to \mathbf{R}_n(\mathbf{a}_{n-1}) \to \boxed{\mathbf{m}_{n-1} \mathbf{a}_{n-1} = \dots}$$

$$\mathbf{M}_{n-1}^* \mathbf{a}_{n-1} = \mathbf{Q}_{n-1}^* + \mathbf{R}_{n-1}, \quad n \to k$$

где

$$\begin{split} \mathbf{M}_{n-1}^* &= \mathbf{M}_{n-1} + \mathbf{C}_n^T \mathbf{M}_n \mathbf{C}_n - \mathbf{C}_n^T \mathbf{M}_n \mathbf{S}_n \mathbf{U}_n^{-1} \mathbf{S}_n^T \mathbf{M}_n \mathbf{C}_n, \\ \mathbf{Q}_{n-1}^* &= \mathbf{Q}_{n-1} + \mathbf{C}_n^T \left(\mathbf{M}_n \left(\mathbf{S}_n \mathbf{U}_n^{-1} \mathbf{S}_n^T (\mathbf{Q}_n - \mathbf{M}_n \mathbf{a}_n') + \mathbf{a}_n' \right) - \mathbf{Q}_n \right). \end{split}$$

Алгоритм

Обратный ход алгоритма $(k = n, n - 1, n - 2, \dots, 2)$

$$\mathbf{M}_{k-1}^* = \mathbf{M}_{k-1} + \mathbf{C}_k^T \mathbf{M}_k^* \mathbf{C}_k - \mathbf{C}_k^T \mathbf{M}_k^* \mathbf{S}_k \mathbf{U}_k^{-1*} \mathbf{S}_k^T \mathbf{M}_k^* \mathbf{C}_k,$$
(17)

$$\mathbf{Q}_{k-1}^* = \mathbf{Q}_{k-1} + \mathbf{C}_k^T \left(\mathbf{M}_k^* \left(\mathbf{S}_k \mathbf{U}_k^{-1*} \mathbf{S}_k^T (\mathbf{Q}_k^* - \mathbf{M}_k^* \mathbf{a}_k') + \mathbf{a}_k' \right) - \mathbf{Q}_k^* \right), \quad (18)$$

$$\mathbf{U}_k^* = \mathbf{S}_k^T \mathbf{M}_k^* \mathbf{S}_k. \tag{19}$$

$$\mathbf{M}_n, \mathbf{Q}_n \to \mathbf{M}_{n-1}^*, \mathbf{Q}_{n-1}^* \to \mathbf{M}_{n-2}^*, \mathbf{Q}_{n-2}^* \to \ldots \to \mathbf{M}_1^*, \mathbf{Q}_1^*$$

Прямой ход алгоритма (k = 1, 2, 3, ..., n)

$$\ddot{\mathbf{q}}_k = \mathbf{U}_k^{*-1} \mathbf{S}_k^T \left(\mathbf{Q}_k^* - \mathbf{M}_k^* (\mathbf{C}_k \mathbf{a}_{k-1} + \mathbf{a}_k') \right)$$
 (20)

Ускорение тела. «0» известно. Если «0» тело неподвижно, то это ускорение равно 0.

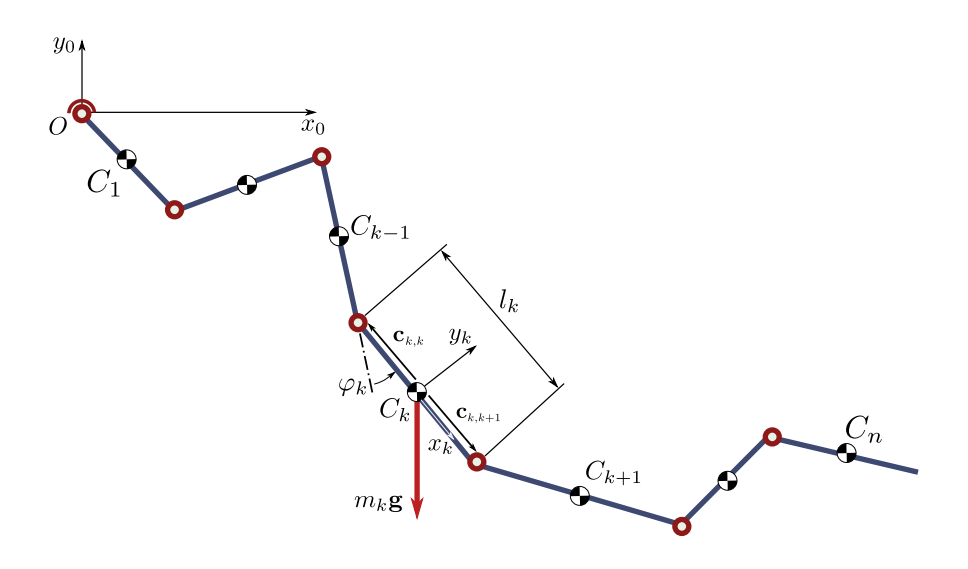
$$\mathbf{a}_k = \mathbf{C}_k \mathbf{a}_{k-1} + \mathbf{S}_k \ddot{\mathbf{q}}_k + \mathbf{a}'_k. \tag{21}$$

$$\ddot{\mathbf{q}}_1(\mathbf{w}_0), \mathbf{w}_1 \to \ddot{\mathbf{q}}_2(\mathbf{a}_1), \mathbf{a}_2, \to \ldots \to \ddot{\mathbf{q}}_n(\mathbf{a}_{n-1}), \mathbf{a}_n$$

СОЕДИНЁННЫХ ЦИЛИНДРИЧЕСКИМИ ШАРНИРАМИ

ПРИМЕР ПРОГРАММЫ (MATLAB) Плоская система стержней, последовательно

Схема системы



Структура файлов

getSk.m getCk.m getWprim.m getMkQkiUk.m

 \mathbf{a}_k'

 \mathbf{S}_k

 \mathbf{C}_k

dqdt.m

 $\mathbf{M}_k^*, \mathbf{Q}_k^*, \mathbf{U}_k$

getA.m

 \mathbf{A}_k

main.m

Главный файл-скрипт І

```
global Model;
Model=struct;
Количество тел
n=10; Model.n=n;
Шарнирные векторы: \mathbf{c}_{k,k+1}^{(k)}=egin{bmatrix} l_k/2\\0 \end{bmatrix}=egin{bmatrix} l/2/2\\0 \end{bmatrix} , \mathbf{c}_{k,k}^{(k)}=-egin{bmatrix} l_k/2\\0 \end{bmatrix}=-egin{bmatrix} l/2/2\\0 \end{bmatrix}
c=mat2cell(zeros(n*2,n),ones(1,n)*2,ones(1,n));
for i=1:n
      c\{i,i\}=0.5*[-1:0]/n:
      if i~=n
             c{i.i+1}=0.5*[+1:0]/n:
       end
end
Model.c=c;
```

Главный файл-скрипт II

Матрицы масс

```
mass=cell(n,1); m=10;
for i=1:n
    mass{i}=[m/n 0 0; 0 m/n 0; 0 0 m/(12*n*n*n)];
end
Model.mass=mass;
Haчальные условия
q0=zeros(n*2,1); q0(1)=-1.0;
Интегрирование
[t,q]=ode113(@dqdt,[0 10],q0);
```

Файл-функция правых частей ДУ І

```
[\dot{\varphi}_1,\dot{\varphi}_2,\ldots,\dot{\varphi}_n,\ddot{\varphi}_1,\ddot{\varphi}_2,\ldots,\ddot{\varphi}_n]=\mathsf{dqdt}(t,[\varphi_1,\varphi_2,\ldots,\varphi_n,\dot{\varphi}_1,\dot{\varphi}_2,\ldots,\dot{\varphi}_n])
function dx = dqdt(t,x)
   global Model;
   n=size(x,1)/2;
   q = x(1:n);
   dq=x(n+1:2*n);
   dx = [dq; dq];
Матрицы преобразования координат A_i из базиса тела i в базис 0:
   A0=cell(n,1);
   AO\{1\} = getA(q(1));
   for i=2:n
      AO\{i\}=AO\{i-1\}*getA(q(i));
   end
```

Файл-функция правых частей ДУ II

Силы и моменты

Обратный ход алгоритма.

```
Вычисление матриц \mathbf{M}_k^*, \mathbf{Q}_k^*, \mathbf{U}_k^{-1}
```

```
[Mk,Qk,iUk]=getMkQkiUk(q,dq,Model.mass,Model.c,Q,A0);
```

Файл-функция правых частей ДУ III

Прямой ход алгоритма. Вычисление $\ddot{\mathbf{q}}_k, \mathbf{a}_k.$

```
w=[0;0;0];
for i=1:n
    Ck=getCk(i, q, dq, Model.c, A0);
    Sk=getSk(i, q, dq, Model.c, A0);
    Wp=getWprim(i, q, dq, Model.c, A0);
    dx(n+i)=iUk{i}*Sk'*(Qk{i}-Mk{i}*(Ck*w+Wp));
    w=Ck*w+Sk*dx(n+i)+Wp;
end
end
```

Файл-функция getMkQkiUk (обратный ход алгоритма) I

```
function [Mk,Qk,iUk] = getMkQkiUk(q,dq,masses,c,Q,A0)
n=size(q,1);
Mk=cell(n,1);
Qk=cell(n,1);
iUk=cell(n,1);
Mk{n}=masses{n};
Qk{n}=Q{n};
```

Файл-функция getMkQkiUk (обратный ход алгоритма) II

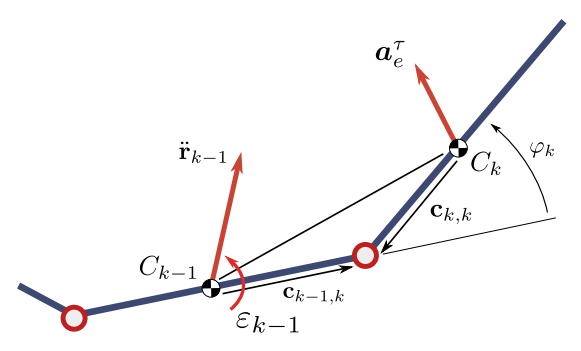
```
for k=n:-1:1
  Ck=getCk(k,q,dq,c,A0);
  Sk=getSk(k,q,dq,c,A0);
  Wprim=getWprim(k, q, dq, c, A0);
  U=Sk'*Mk{k}*Sk;
  iUk{k}=inv(U);
  if k>1
   Mk\{k-1\}=masses\{k-1\}+Ck'*Mk\{k\}*Ck-Ck'*Mk\{k\}*...
            Sk*iUk{k}*Sk'*Mk{k}*Ck:
   0k\{k-1\}=0\{k-1\}-Ck'*(Mk\{k\}*(Sk*iUk\{k\}*Sk'*...
            (Qk\{k\}-Mk\{k\}*Wprim)+Wprim)-Qk\{k\});
  end
 end % for
end
```

Кафедра ТМ (СГАУ)

Файл-функция getCk

Коэффициенты при ускорениях \mathbf{a}_{k-1} в выражении

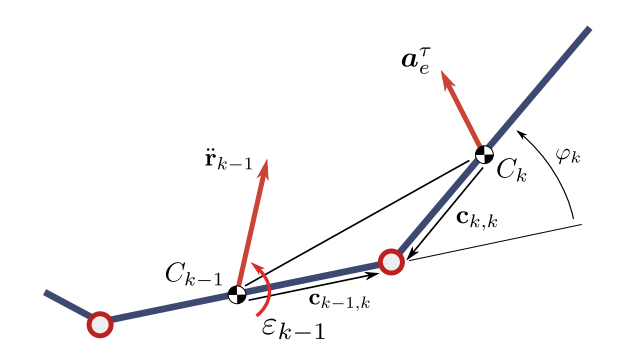
$$\mathbf{a}_k = \mathbf{C}_k \mathbf{a}_{k-1} + \mathbf{S}_k \ddot{\mathbf{q}}_k + \mathbf{a}_k' \tag{22}$$



$$\mathbf{a}_{k} = \begin{bmatrix} \ddot{x}_{k-1} \\ \ddot{y}_{k-1} \\ \varepsilon_{k-1} \end{bmatrix} + \begin{bmatrix} \mathbf{A}_{-\pi/2} (\mathbf{A}_{k} \mathbf{c}_{kk}^{(k)} - \mathbf{A}_{k-1} \mathbf{c}_{k,k-1}^{(k-1)}) \\ 0 \end{bmatrix} \varepsilon_{k-1} + \dots$$

Файл-функция getCk

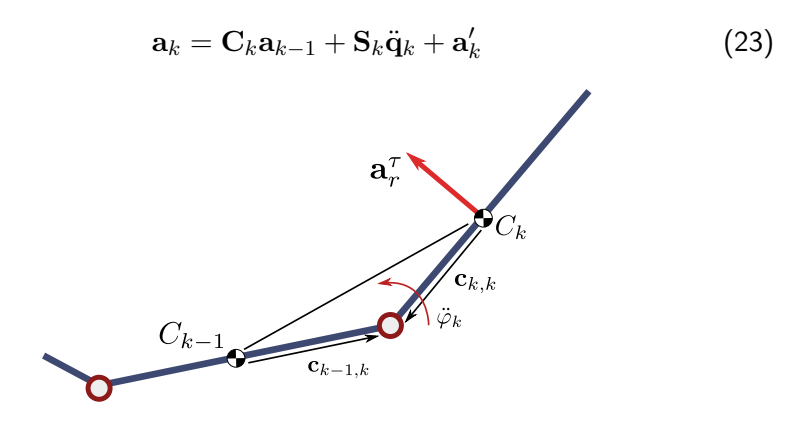
$$\mathbf{a}_{k} = \underbrace{\begin{bmatrix} \mathbf{E}_{2 \times 2} & \mathbf{A}_{-\pi/2} (\mathbf{A}_{k} \mathbf{c}_{kk}^{(k)} - \mathbf{A}_{k-1} \mathbf{c}_{k,k-1}^{(k-1)}) \\ 0 & 1 \end{bmatrix}}_{\mathbf{C}_{k}} \begin{bmatrix} \ddot{x}_{k-1} \\ \ddot{y}_{k-1} \\ \varepsilon_{k-1} \end{bmatrix} + \dots$$



Файл-функция getCk

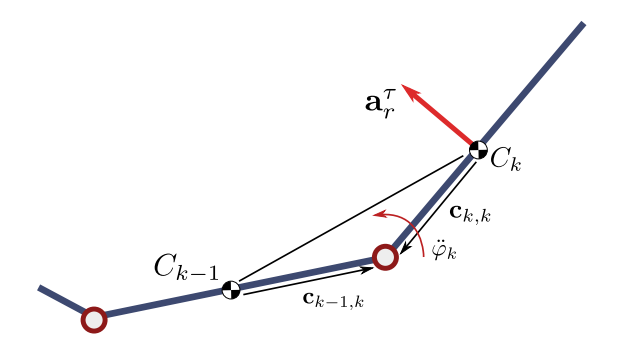
```
function ck = getCk(k, q, dq, c, A0)
  ck=eye(3,3);
  if k==1
   ck(1:2,3)=-[0 1;-1 0]*(-A0{k}*c{k,k});
  else
   ck(1:2,3)=-[0 1;-1 0]*(A0{k-1}*c{k-1,k}-A0{k}*c{k,k});
end
```

Файл-функция getSk



Файл-функция getSk

$$\mathbf{S}_{k}\ddot{\mathbf{q}}_{k} = \mathbf{S}_{k}\ddot{\varphi}_{k} = \begin{bmatrix} a_{r_{x}}^{\tau} \\ a_{r_{y}}^{\tau} \\ \ddot{\varphi}_{k} \end{bmatrix} = \begin{bmatrix} \mathbf{A}_{-\pi/2}\mathbf{A}_{k}\mathbf{c}_{kk} \\ 1 \end{bmatrix} \ddot{\varphi}_{k}.$$
 (24)



Файл-функция getSk

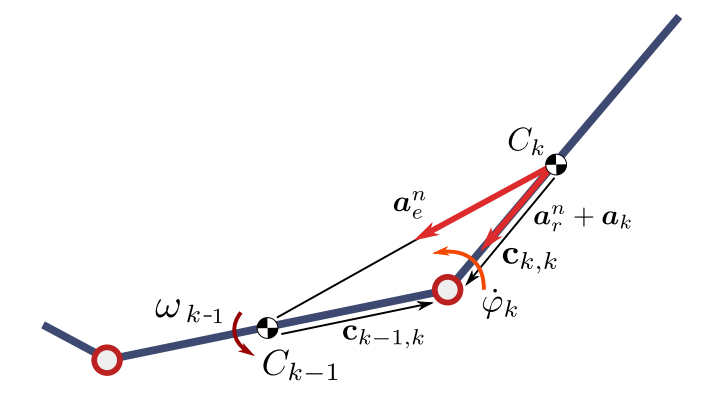
$$\mathbf{S}_k = \begin{bmatrix} \mathbf{A}_{-\pi/2} \mathbf{A}_k \mathbf{c}_{kk} \\ 1 \end{bmatrix}. \tag{25}$$

```
function sk = getSk(k, q, dq, c, A0)
    sk=[0;0;1];
    sk(1:2)=[0 1;-1 0]*A0{k}*c{k,k};
end
```

Файл-функция getWprim

Составляющие ускорения, не зависящие от вторых производных обобщённых координат $\ddot{\mathbf{q}}$.

$$\mathbf{a}_k = \mathbf{C}_k \mathbf{a}_{k-1} + \mathbf{S}_k \ddot{\mathbf{q}}_k + \mathbf{a}'_k \tag{26}$$



Файл-функция getWprim

$$\mathbf{a}_{k}' = \underbrace{-\mathbf{c}_{k-1,k}\omega_{k-1}^{2} + \mathbf{c}_{kk}\omega_{k-1}^{2}}_{\mathbf{a}_{e}^{n}} + \underbrace{2\mathbf{c}_{kk}\dot{\varphi}_{k}\omega_{k-1}}_{\mathbf{a}_{k}} + \underbrace{\mathbf{c}_{kk}\dot{\varphi}_{k}^{2}}_{\mathbf{a}_{r}^{n}} + \mathbf{a}_{k}$$

$$C_{k}$$

$$\mathbf{a}_{e}^{n}$$

$$\mathbf{c}_{k,k}$$

$$\dot{\varphi}_{k}$$

(27)

Файл-функция getWprim

$$\mathbf{a}'_{k} = -\mathbf{c}_{k-1,k}\omega_{k-1}^{2} + \mathbf{c}_{kk}\omega_{k-1}^{2} + 2\mathbf{c}_{kk}\dot{\varphi}_{k}\omega_{k-1} + \mathbf{c}_{kk}\dot{\varphi}_{k}^{2}.$$
 (28)

```
function wprim=getWprim(k, q, dq, c, A0)
  if k==1
    wprim=[(dq(k)+0)^2*A0{k}*c{k,k};0];
  else
    wkp=sum(dq(1:k-1));
    wprim=[(dq(k)+wkp)^2*A0{k}*c{k,k}-wkp*wkp*A0{k-1}*c{k-1,k};0];
  end
end
```

Файл-функция getA

Матрица плоского поворота, преобразующая координаты из базиса e^2 , повёрнутого вокруг оси z относительно базиса e^1 , в базис e^1 . function A = getA(angle) $A = [\cos(\text{angle}) - \sin(\text{angle}); \sin(\text{angle}) \cos(\text{angle})];$

end

Список использованных источников

- Верещагин, А. Ф. Компьютерное моделирование динамики сложных механизмов роботов-манипуляторов / А. Ф. Верещагин // Инженерная кибернетика, вып. 6. — 1974. — С. 65–70.
- Дмитроченко, О. Н. Эффективные методы численного моделирования динамики нелинейных систем абсолютно твёрдых и деформируемых тел: Дис... канд. физ. мат. наук: 01.02.01. – М., 2003. – 125 с.
- Joel Storch and Stephen Gates, Motivating Kane's Method for Obtaining Equations of Motion for Dynamic System. Engineering Notes, Vol. 12, N. 4, July-August 1989.